



Progetto di Modellistica e Simulazione

di Agosti Claudia, Brognoli Greta e Cropelli Matteo



1) Modellizzazione di un quadricottero

VARIABILI DI STATO

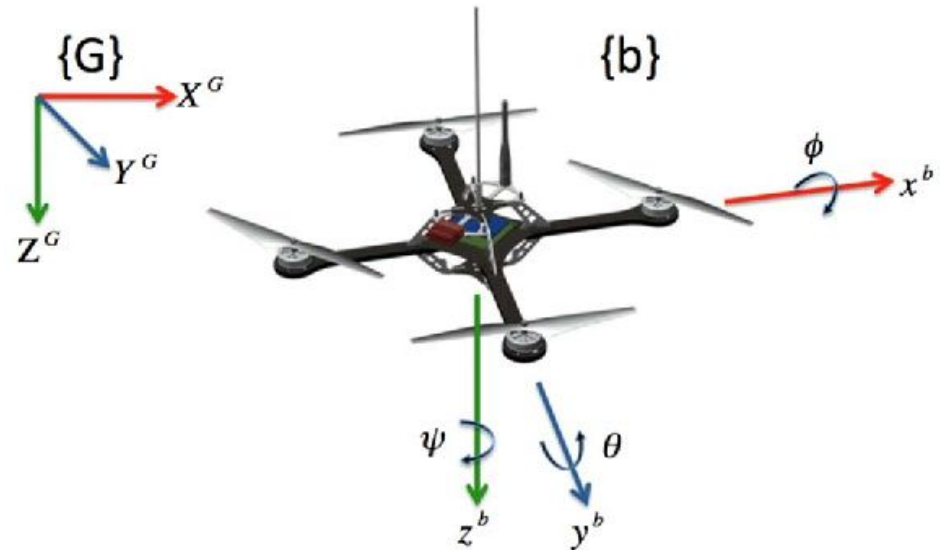
- ϕ, θ, ψ : angoli di roll, pitch e yaw rispettivamente intorno agli assi x, y e z
- x, y, z : posizione del drone nello spazio (asse z positiva verso il basso)
- $d\phi, d\theta, d\psi$: velocità angolari
- dx, dy, dz : velocità traslazionali

INGRESSI

- $U1$: spinta totale dei motori
- $U2$: momento attorno all'asse X (roll)
- $U3$: momento attorno all'asse Y (pitch)
- $U4$: momento attorno all'asse Z (yaw)

USCITE

- ϕ, θ, ψ
- x, y, z



1) Modellizzazione di un quadricottero

CINEMATICA ROTAZIONALE

$$\begin{bmatrix} \dot{\phi} \\ \dot{\theta} \\ \dot{\psi} \end{bmatrix} = \begin{bmatrix} 1 & \sin(\phi) \tan(\theta) & \cos(\phi) \tan(\theta) \\ 0 & \cos(\phi) & -\sin(\phi) \\ 0 & \frac{\sin(\phi)}{\cos(\theta)} & \frac{\cos(\phi)}{\cos(\theta)} \end{bmatrix} \begin{bmatrix} p \\ q \\ r \end{bmatrix}$$

CINEMATICA TRASLAZIONALE

$$\begin{bmatrix} \dot{x} \\ \dot{y} \\ \dot{z} \end{bmatrix} = \begin{bmatrix} \cos(\psi) \cos(\theta) & -\sin(\psi) \cos(\phi) + \cos(\psi) \sin(\theta) \sin(\phi) & \sin(\phi) \sin(\psi) + \cos(\phi) \sin(\theta) \cos(\psi) \\ \sin(\psi) \cos(\theta) & \cos(\phi) \cos(\psi) + \sin(\phi) \sin(\theta) \sin(\psi) & -\cos(\psi) \sin(\phi) + \sin(\psi) \sin(\theta) \cos(\phi) \\ -\sin(\theta) & \cos(\theta) \sin(\phi) & \cos(\theta) \cos(\psi) \end{bmatrix} \begin{bmatrix} \dot{x}_b \\ \dot{y}_b \\ \dot{z}_b \end{bmatrix}$$

1) Modellizzazione di un quadricottero

DINAMICA ROTAZIONALE

$$\mathbf{M} = \mathbf{r} \times \mathbf{F}$$

$$\mathbf{L} = \mathbf{I} * \mathbf{w}$$

$$\mathbf{J} * d\mathbf{w} = \mathbf{M} - (\mathbf{w} \times \mathbf{J} * \mathbf{w})$$

$$\begin{bmatrix} \ddot{\phi} \\ \ddot{\theta} \\ \ddot{\psi} \end{bmatrix} = \begin{bmatrix} \frac{1}{J_x} [(J_y - J_z) \dot{\theta} \dot{\psi} + U_2] \\ \frac{1}{J_y} [(J_z - J_x) \dot{\psi} \dot{\phi} + U_3] \\ \frac{1}{J_z} [(J_x - J_y) \dot{\theta} \dot{\phi} + U_4] \end{bmatrix}$$

DINAMICA TRASLAZIONALE

$$\mathbf{F} = m * \mathbf{a}$$

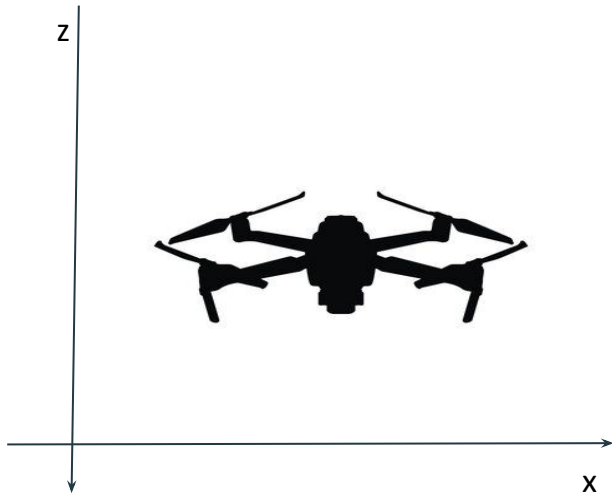
$$m * \mathbf{a} = \mathbf{F}_{\text{totale_motori}}$$

$$\begin{bmatrix} \ddot{x} \\ \ddot{y} \\ \ddot{z} \end{bmatrix} = \begin{bmatrix} -\frac{1}{m} (\cos(\phi) \cos(\psi) \sin(\theta) + \sin(\phi) \sin(\psi)) U_1 \\ -\frac{1}{m} (\cos(\phi) \sin(\psi) \sin(\theta) - \cos(\psi) \sin(\phi)) U_1 \\ -\frac{1}{m} (\cos(\phi) \cos(\theta)) U_1 + g \end{bmatrix}$$

1) Modellizzazione di un quadricottero

PUNTO DI EQUILIBRIO

La stabilità per i sistemi nonlineari è una caratteristica locale dei punti di equilibrio.



```
var=[p q r dxb dyb dzb lxx lyy lzz m g];  
val=[0,0,0,0,0,0, 0.5, 0.5, 0.24, 1.4,9.81];  
xeq_s=solve(subs(ff, var, val)==0);  
=> U1=13.734; altre var = 0  
=> Autovalori tutti a 0 => Simulazione  
=> Instabilità
```

Fissando gli ingressi e linearizzando => 6 soluzioni con valori immaginari, 1 a tutti valori reali (tutti 0)

1) Modellizzazione di un quadricottero

PUNTO DI EQUILIBRIO

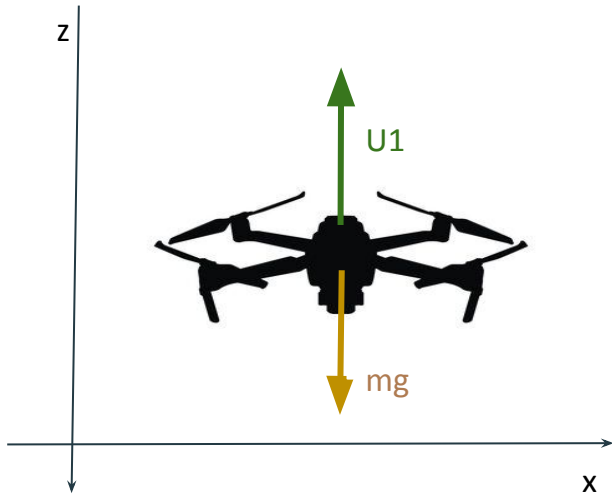
Si ipotizza il quadricottero immobile in un generico punti dello spazio.

$$\bar{\mathbf{X}} = [0 \ 0 \ 0 \ 0 \ 0 \ 0 \ 0 \ 0 \ 0 \ 0 \ \bar{x} \ \bar{y} \ \bar{z}]^T$$

L'input per ottenere la situazione descritta:

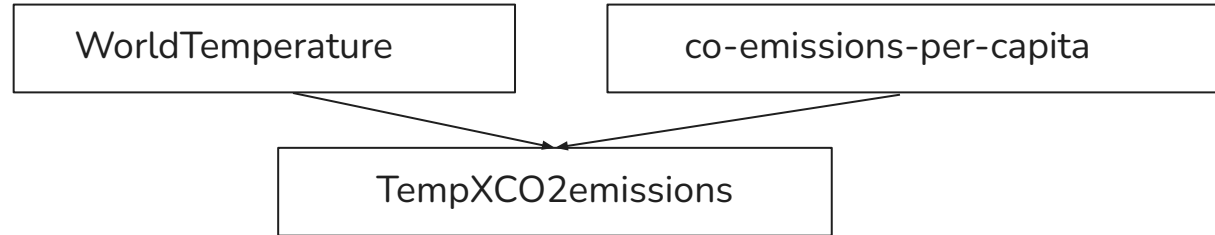
$$\bar{\mathbf{u}} = [mg \ 0 \ 0 \ 0]^T$$

Ingresso costante per contrastare la forza di gravità



2) Esercizio serie storiche

Serie storiche sfruttate:



Identificazione: righe dispari della tabella

Validazione: righe pari della tabella

Max. ordine parte autoregressiva = 3;

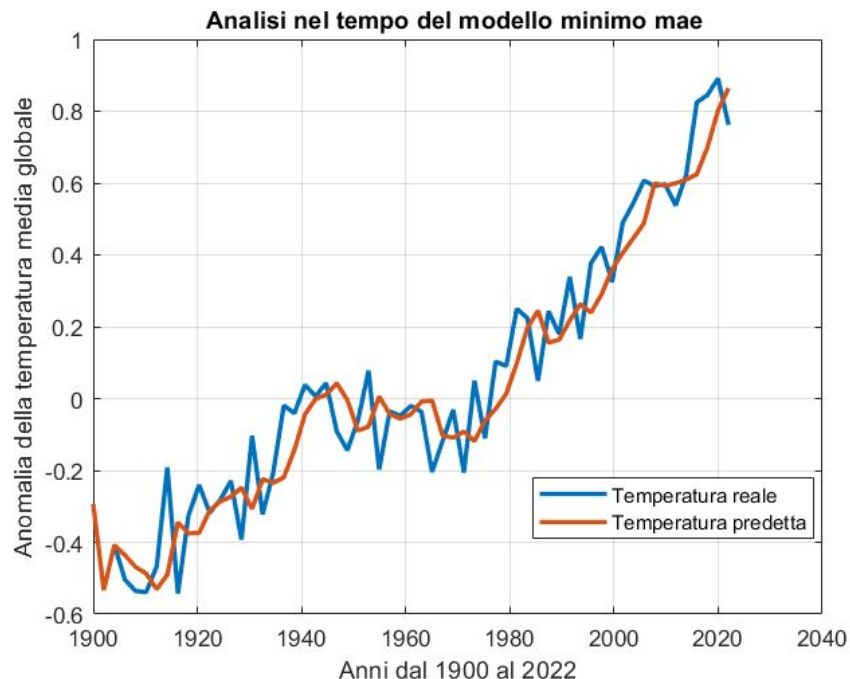
Max. ordine parte esogena = 3;

ritardo parte esogena = 1 anno

2) Esercizio serie storiche

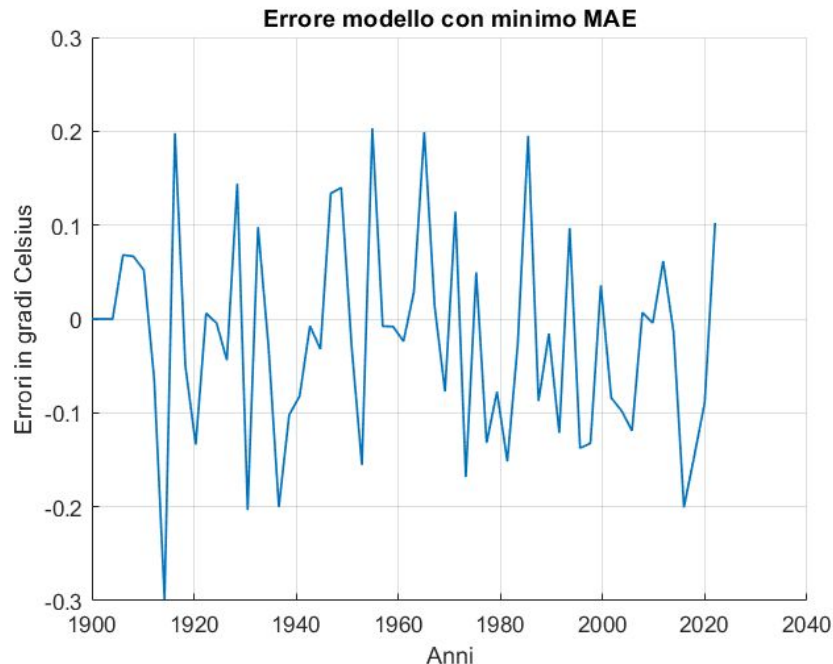
Abbiamo calcolato diversi modelli impostando i parametri nel seguente modo: $\text{max_ord_ar}=3/T_c$
 $\text{max_ord_ex}=3/T_c$, $\text{rit}=1$, $\text{orizzonte}=[1\ 3\ 5]$

Sono stati ottenuti 9 diversi modelli per ogni orizzonte di previsione, riportiamo in figura il migliore modello basandosi su MAE (orizzonte = 1) con $n_a=3$, $n_b=1$, $n_k=1$.

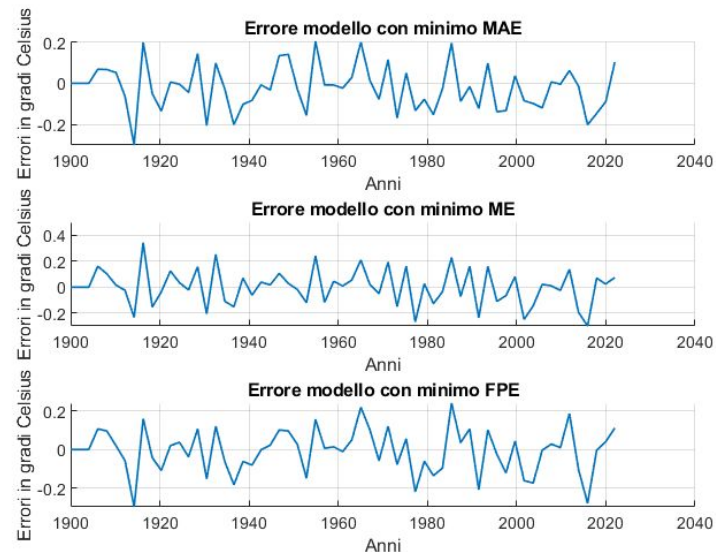
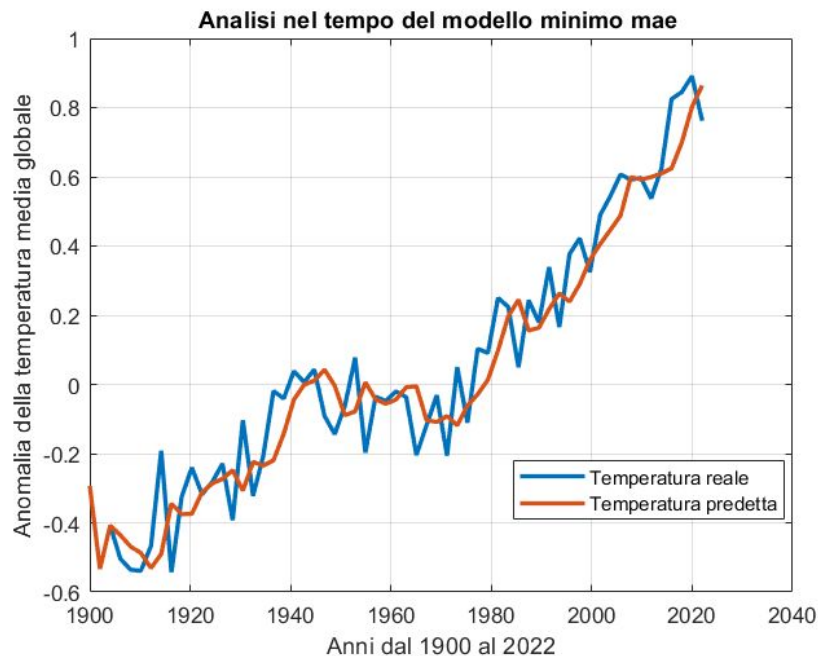


2) Esercizio serie storiche

- Errori elevati
- NMAE = 2.65: questa metrica aiuta a capire la performance relativa del modello
- Gli errori potrebbero essere dovuti a vari fattori, come cambiamenti nelle emissioni di CO2 non previsti dal modello, eventi climatici estremi, e soprattutto dal numero di dati storici utilizzati per l'addestramento del modello.

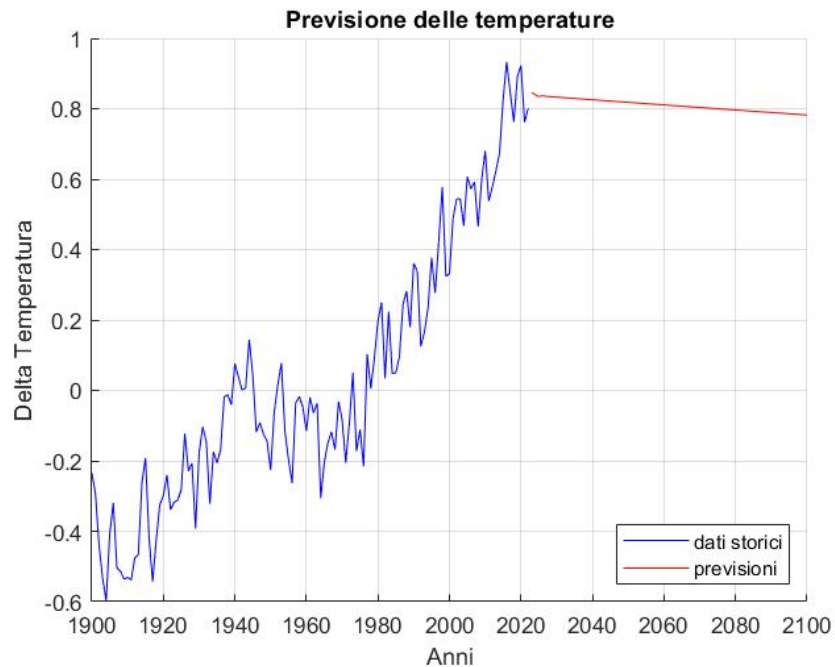


2) Esercizio serie storiche



2) Esercizio serie storiche

Attraverso il comando forecast abbiamo fatto una previsione della temperatura sul modello che ha il MAE minimo, fino al 2100



3) Studio del sistema non lineare

Il sistema dato:

$$\begin{cases} \dot{x}_1 = 3 * (x_1^2 + x_1) * x_2 \\ \dot{x}_2 = -4x_2 + x_1 - x_2 * u + 3 * u \end{cases}$$

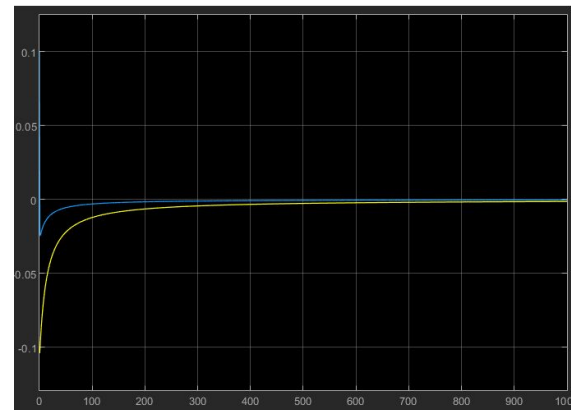
a.1) CALCOLARE E STUDIARE PUNTI DI EQUILIBRIO DEL SISTEMA per $u=0$

1. $x_{eq1} = [0, 0]$

Jacobiana calcolata sul punto di equilibrio x_{eq1} ha autovalori $aval1 = [-4; 0]$
→ x_{eq1} è un punto di indecidibilità, simulando il sistema si ha stabilità locale

2. $x_{eq2} = [-1.00, -0.25]$

Jacobiana calcolata sul punto di equilibrio x_{eq2} ha autovalori $aval2 = [-4; 0.75]$
→ x_{eq2} è un punto di sella




3) Studio del sistema non lineare

a.2) VALUTO L'USCITA PER LA LINEARIZZAZIONE I-O

1. $y_1 = 5 \cdot x_2$:


- $dy_1 = 15 \cdot u + 5 \cdot x_1 - 20 \cdot x_2 - 5 \cdot \underline{u} \cdot x_2$
→ grado relativo 1



2. $y_2 = 2 \cdot x_1$:

- $dy_2 = 2 \cdot x_2 \cdot (3 \cdot x_1^2 + 3 \cdot x_1)$

- $ddy_2 = (6 \cdot x_1^2 + 6 \cdot x_1) \cdot (3 \cdot \underline{u} + x_1 - 4 \cdot x_2 - \underline{u} \cdot x_2) + 2 \cdot x_2^2 \cdot (6 \cdot x_1 + 3) \cdot (3 \cdot x_1^2 + 3 \cdot x_1)$
→ grado relativo 2



3) Studio del sistema non lineare

a.3) PROGETTAZIONE CONTROLLO, linearizzazione IO

L'ingresso linearizzato trovato $\rightarrow u_{lin} = \text{solve}(ddy2 == v, u)$:

$$- u_{lin} = ((6*x1^2 + 6*x1)*(x1 - 4*x2) - v + 2*x2^2*(6*x1 + 3)*(3*x1^2 + 3*x1))/((6*x1^2 + 6*x1)*(x2 - 3))$$

a.4) DETERMINAZIONE CONTROLLO IN RETROAZIONE, $v = -K*T(x) + F$

.regolazione a 0 dello stato

$$\rightarrow F = 0$$

.dinamica definita dalla coppia di autovalori $[a1; 2*a1]$

$$\rightarrow \text{Trovo } K, K = [12.50 \quad 7.50]$$

.a1 deve permettere al sistema di raggiungere l'equilibrio in un tempo $T=2s$

$$\rightarrow a1 = -5/T \text{ a (considerando la linearizzazione "perfetta")}$$

. Diffeomorfismo $T(x)$:

$$T_{lin} = [2*x1, 2*x2*(3*x1^2 + 3*x1)]$$

3) Studio del sistema non lineare

b) LINEARIZZAZIONE DEL SISTEMA ATTORNO AL PUNTO DI EQUILIBRIO

$$\Delta x = [x_1; x_2] - [0, 0] = x$$

$$\Delta u = u - 0 = u$$

$$dx = [0 \ 0; 1 \ -4] x + [0; 3] u$$

$$dy_1 = [0, 5] x$$

$$dy_2 = [2, 0] x$$

$A1 = [0, 0; 1, -4];$	$B1 = [0; 3];$	$C1_y1 = [0, 5];$ $C1_y2 = [2, 0];$
-----------------------	----------------	--

3) Studio del sistema non lineare

c) SIMULAZIONE:

simulando le uscite con una semplice linearizzazione attorno al punto di equilibrio e con la linearizzazione IO possiamo ricavare il seguente grafico:

- Si nota come l'unica uscita che va a 0 è y_{2_lin} , questo conferma gli studi fatti nei punti precedenti.

